

# برآورد بار وارد بر سپر و سیستم نگهداری با مدلسازی عددی پیوسته و ناپیوسته (سه بعدی)

مصطفی شریفزاده<sup>ii</sup>; امیر ترابی معصومی

چکیده

محاسبه نیروهای وارد بر سپر از جنبه‌های مختلفی از قبیل انتخاب و طراحی دستگاه (Tunnel Boring Machine) قبل از خرید و همچنین تخمین بارهای وارد بر دستگاه بعد از شروع حفاری تونل اهمیت دارد. این نیروها عبارتند از نیروی وارد بر کله حفار از طرف سینه کار و نیروی وارد بر سپر از طرف دیواره‌ها. در زمین‌هایی که سرعت و میزان همگرایی زیاد است و یا TBM بیش از زمان پیش‌بینی شده توقف داشته باشد، فضای خالی اطراف سپر بسته شده و دستگاه گیر می‌کند. در این شرایط نیروهایی از طرف زمین به سپر وارد می‌شود که دستگاه برای ادامه حرکت خود باید بر این نیروها غلبه کند. در این تحقیق، نیروهای وارد بر سپر و سیستم نگهداری تونل قمود با استفاده از روش‌های عددی پیوسته و ناپیوسته (سه بعدی) برآورد شده است. نتایج نشان می‌دهد که نخست، با توجه به وجود ناپیوستگی‌ها در سنگ‌های درونگیر محدوده موردنظر مطالعه نتایج تحلیل‌های پیوسته و ناپیوسته نسبت به یکدیگر متفاوتند می‌باشند، دوم اینکه همگرایی سنگ‌های درونگیر تونل بیشتر از مقدار فرض شده اولیه است. سوم اینکه بار وارد ب سیستم نگهداری سبب افزایش پتانسیل ناپایداری آن می‌شود. شواهد تجربی از قبیل ترک‌های ایجاد شده بر روی قطعات پیش‌ساخته نتایج حاصل از تحلیل‌ها را تایید می‌کنند.

## کلمات کلیدی

TBM، سپر، همگرایی تونل، مدلسازی پیوسته و ناپیوسته، مدلسازی عددی، بار وارد ب سیستم نگهداری

## Evaluate of Load on TBM Shield and Segments Using Continuum-Discountinuum 3D Numerical Modeling

Mostafa Sharifzadeh, Amir Torabi Masoumi

### ABSTRACT

Calculation of loads on TBM (Tunnel Boring Machine) shield is extremely important in TBM type selection and estimation of support system. Two main ground loading components on TBM consist of loading on TBM cutter head from the tunnel face and loading on the TBM shield from the tunnel surrounding rock mass. In weak rock masses, where convergence rate is high or TBM maintenance take long time, the ground convergence fills the gap between shield and surrounding rocks, which leads to TBM jamming or stoppage. Thus, TBM needs to overcome two forces excreted from ground. In this research, loads on TBM and tunnel lining segments are evaluated using three-dimensional continuum – discontinuum numerical analysis in Ghomrod tunnel. It is founded that; at first, continuum analysis results are different from discontinuum ones, which is due to heavily jointed rock masses condition. Secondly, calculated tunnel convergence with new information is higher than predicted convergence using preliminary data from geotechnical investigation (before tunnel excavation). Several records of

<sup>i</sup> عضو هیأت علمی دانشگاه صنعتی امیرکبیر، دانشکده معدن و متالورژی (پلی‌تکنیک تهران): sharifzadeh@aut.ac.ir

<sup>ii</sup> کارشناس گروه سازه‌های زیرزمینی، موسسه مهندسین مشاور این‌سازان: amiriut@yahoo.com

TBM jamming confirm these results. Finally, load on tunnel lining cause to segments instability. Evident such as cracks on installed lining segments at tunnel walls verify the numerical analysis results.

## KEYWORDS

TBM, tunnel convergence, continuum-discontinuum analysis, numerical modeling, Load on support.

## -۱- مقدمه

سه بعدی به صورت پیوسته و ناپیوسته در محیط سنگی ضعیف انجام شده است. بدین منظور اطلاعات ژئوتکنیکی محدوده مورد مطالعه پردازش شد و با توجه به اطلاعات به دست آمده نیروهای وارد بر سپر و سیستم نگهداری، برآورده شده است. برای برآورده نیروهای وارد بر سپر و سیستم نگهداری روش‌های عددی سه بعدی (برای مدلسازی پیوسته) FLAC<sup>3D</sup> و 3DEC (برای مدلسازی ناپیوسته) به کار گرفته شده و مقدار همگرایی و تنش‌های اعمالی بر سیستم نگهدارنده و سپر محاسبه شد. سرانجام نتایج به دست آمده از تحلیل‌های پیوسته و ناپیوسته با هم و با شواهد تجربی مقایسه شد.

## ۲- معرفی تونل و مطالعات ژئوتکنیک

تونل انتقال آب قمرود یکی از اجزای اصلی سیستم انتقال آب از سرشاخه‌های حوزه درز به قمرود است. این تونل به طول ۲۵۷۵۰ متر و قطر تمام شده  $\frac{2}{8}$  متر، امکان انتقال  $22 \text{ m}^3/\text{s}$  آب را فراهم می‌کند. رقوم کف تونل در ابتداء و انتهای به ترتیب ۲۰۵۵ و ۲۰۱۱ متر از سطح دریاست و آب به صورت ثقلی آزاد جریان می‌یابد. عملیات حفاری تونل قطعات ۳ و ۴ قمرود در بهمن‌ماه سال ۱۳۸۲ آغاز شد. از آغاز سال ۱۳۸۴ تا پایان شهریور ماه ۸۴ بدليل برخورد با شرایط بد زمین‌شناسی و گیرکردن TBM تنها ۱۲۰ متر حفاری شده است، متوجه ضریب بهره‌وری از ابتدای عملیات اجرایی (بهمن‌ماه ۸۲) تا پایان شهریور ۸۴ کمتر از ۱۰ درصد بوده که بسیار کمتر از حد استاندارد است [۱۰].

در این مقاله، کیلومتری ۵۲۲۱ متر از دهانه خروجی بخش در حال حفاری با روش مکانیزه مطالعه شده است. متوجه روباره در این بخش ۴۰۰ متر است. بر اساس نتایج و اطلاعات حاصل از مطالعات زمین‌شناسی و زمین‌شناسی مهندسی، در قطعه ۳ و ۴ تونل قمرود (کیلومتر ۱۸+۰۰۰ تا ۱۸+۵۵۰)، صرف نظر از رسوبات و نهشته‌های واریزهای سطحی، ۵ واحد زمین‌شناسی مهندسی شناسایی شده است. سنگ‌های ژوراسیک محدوده مورد مطالعه نیز دو گونه لیتوژیکی؛ که با علائم II و III مشخص می‌شوند، قابل شناسایی است که خصوصیات آنها در ادامه آورده می‌شود. شایان توجه است که هریک از گونه‌های لیتوژیکی معرفی شده گاهی اوقات به واحدهای کوچکتری به نام گونه زمین‌شناسی مهندسی نیز قابل تفکیک هستند.

محاسبه نیروهای وارد بر سپر<sup>۱</sup> از جنبه‌های مختلف از قبیل انتخاب و طراحی دستگاه TBM<sup>۲</sup> قبل از خرید، تخمین بارهای وارد بر دستگاه بعد از شروع حفاری، نیروی لازم برای غلبه بر اصطکاک و پیشروی، و ظرفیت باربری سپر در مقابل نیروهای اعمالی اهمیت دارد.

در حالت کلی دو نیرو بر دستگاه TBM وارد می‌شود که شامل نیروی وارد بر کله حفار<sup>۳</sup> از طرف سینه‌کار و نیروی وارد بر سپر از طرف دیوارهای می‌باشد. نیروی وارد بر کله حفار با نیروی پیشران<sup>۴</sup> متعادل می‌شود؛ اما نیرویی از طرف سپر، برای جبران بار وارد از زمین وجود ندارد، بنابراین نیروی وارد از طرف سنگ‌های درونگیر تونل به طور مستقیم روی سپر بارگذاری شده و افزایش بیش از حد فشار روی سپر سبب گیرافتادن دستگاه می‌شود. تونل قمرود (قطعه ۳ و ۴) از جمله پروژه‌هایی است که وجود این نیروها مشکلات اجرایی فراوانی در آن ایجاد کرده است. برای جلوگیری از گیرافتادن دستگاه TBM در تونل، قطر تونل مقداری بزرگتر از قطر سپر، حفاری می‌شود. میزان اضافه حفاری به نزد همگرایی سنگ‌های درونگیر بستگی دارد. فاصله بین دیوار تونل و دیواره خارجی سپر باید به اندازه‌ای باشد که قبل از همگرایی و رسیدن دیوار تونل به سپر دستگاه، سیستم نگهداری نصب شده و TBM از محل بدون نگهداری عبور کند [۱]. در زمین‌هایی که سرعت و میزان همگرایی زیاد است و یا TBM بیش از زمان پیش‌بینی شده توقف داشته باشد، فضای خالی اطراف سپر بسته شده و دستگاه گیر می‌کند و سبب اعمال نیرویی از طرف زمین به سپر می‌شود.

تغییرات تنش و تغییرشکل سنگ‌های درونگیر تونل با پیشروی دستگاه TBM با استفاده از نرم افزارهای سه بعدی به وسیله محققین متعددی مدلسازی شده است [۲]-[۵]. در سال های اخیر چندین مطالعه سه بعدی به روش پیوسته برای مدلسازی تغییر شکل زمین در تونل سازی در محیط‌های خاکی انجام شده است [۶] و [۷]. عمدۀ مدلسازی‌های پیوسته به صورت دو بعدی و تعداد محدودی از آنها به صورت سه بعدی پیوسته انجام شده است [۱]، [۲]، [۳]، [۴] و [۷]. محققان اندکی نیز برای تعیین اندرکنش سپر- تونل سنگ مدلسازی ناپیوسته دو بعدی را به کار گرفته‌اند [۱]. در این تحقیق، مدلسازی

کوچکتری به نام گونه زمین‌شناسی مهندسی با نام‌های JIa و JIb تفکیک شده است، که به ترتیب از ماسه سنگها و شیل و اسلیت‌ها تشکیل شده است.

مشخصات ژئومکانیکی ماده سنگ که از آزمون‌های آزمایشگاهی به دست آمده در جدول (۱) ارائه شده است. محدوده‌ای از تونل؛ که دستگاه TBM در حال حاضر متوقف شده است، در زون JI قرار دارد. این زون به واحدهای

جدول (۱): پارامترهای به دست آمده از آزمایش‌های آزمایشگاهی برای ماسه سنگ محدوده مورد مطالعه [۱۲]

زاویه اصطکاک داخلی	چسبندگی (MPa)	مقاومت کششی (MPa)	UCS (MPa)	ضریب پواسون	مدول الاستیسیته GPa	دنسیته (Kg/m³)
۵۰	۱۱	۷/۵	۷۰	.۰/۲۵	۱۰	۲۷۳۰

زمین و محیط اطراف سازه به وجود آمده است. روش‌های عددی، تحلیل تونل سازی با استفاده از سپر او مطالعه تاثیر پارامترهای موثر در رفتار سنگ‌های درونگیر را امکان پذیر می‌سازند [۸].

روش حفر به صورت مکانیزه با استفاده از TBM با سپر تلسکوپی و سپس نصب سیستم نگهداری از نوع قطعات پیش‌ساخته بتی بلافاصله بعد از سپر و همزمان با پیشروی دستگاه می‌باشد. برای پر کردن فضای خالی بین سیستم نگهدارنده و دیواره تونل ابتدا شن نخودی پشت قطعات پیش‌ساخته بتی ریخته شده و سپس دوغاب اتزیریق می‌شود. با توجه به قطر داخلی تمام شده  $3/8$  متر و تعداد ۴ قطعه سگمنت در هر رینگ، طول سگمنت‌های سقف و دیواره حدود  $2/4$  متر، طول سگمنت کف حدود  $3/5$  متر، و ضخامت قطعات پیش‌ساخته در این پروژه ۲۵ سانتی متر در نظر گرفته شده است.

خصوصیات ژئوتکنیکی محدوده مورد مطالعه با استفاده از روابطی که هوک ارایه کرده است، محاسبه شد. خصوصیات تونل سنگ به دست آمده برای مقادیر مقاومت فشاری تک محوره ۷۰ مگاپاسکال و ضخامت روباره ۴۰۰ متری تونل مطابق جدول زیر محاسبه شد (جدول (۲)). ناپیوستگی‌هایی که بر ویژگی‌های ژئومکانیکی تونل‌سنگ‌های منطقه تأثیر مستقیم دارند، به سه دسته شامل سطوح لایه بندی، سطوح تورق (شیستوزیته) و درزهای ساختاری تقسیم می‌شوند. درزهای از نظر تعداد، جهت داری، فاصله داری و سایر خصوصیات کاملاً به تکتونیک و شرایط ساختاری منطقه بستگی دارند. مشخصات ناپیوستگی‌های محدوده مورد مطالعه در جدول (۲) ارائه شده است.

### ۳- تحلیل تونل با استفاده از روش‌های عددی

با پیشرفت روش‌های عددی در زمینه تحلیل و طراحی سازه‌های زیرزمینی امکان پیش‌بینی دقیق‌تر از عکس‌عمل

جدول (۲): خصوصیات تعیین شده برای تونل محدوده مورد مطالعه

زاویه اصطکاک داخلی	چسبندگی (MPa)	مقاومت کششی (MPa)	مقاومت فشاری تک محوری (MPa)	مدول الاستیسیته GPa
۴۰	۱/۵۸۷	.۰/۱۷	۴/۲۲	۸/۳۷

جدول (۳): مشخصات ناپیوستگی‌ها در محدوده مورد مطالعه [۱۲]

توضیحات	چسبندگی (MPa)	زاویه اصطکاک سطح ناپیوستگی	جهت شیب/شیب	فاصله داری (cm)	دسته درزه
	.۰/۱	۲۰	۶۰/۳۴۴	۲۰	۱
	.۰/۱	۲۰	۶۰/۳۴۲	۲۰	۲
	.۰/۱	۲۰	۶۰/۱۴۴	۲۰	۳
شیستوزیته	.۰/۰۱	۲۵	۷۲/۳۶۰	۱۰	۴

۵- نیروی پیشران در تحلیل بار وارد بر سپر در نظر گرفته نشد. این بدیل تاثیر ناچیز فشار وارد بر سینه کار در جابجایی نهایی محیط اطراف تونل است [۸].

در شکل (۱) نمای کلی از دستگاه TBM و بخش های مختلف آن نشان داده شده است. خصوصیات قطعات پیش ساخته و سپر مورد استفاده نیز در جدول (۴) ارائه شده است.

### ۱-۳- تحلیل پیوسته

برای تحلیل پیوسته و به دست آوردن نیروهای وارد بر سپر و سیستم نگهدارنده، مدلسازی سه بعدی با استفاده از نرم افزار FLAC<sup>3D</sup> انجام شد. مراحل مدلسازی و تحلیل به صورت زیر طی شده است:

(الف)- ایجاد هندسه مدل، اعمال شرایط مرزی و به تعادل رساندن مدل. (ب)- حفاری تونل و محاسبه تغییر شکل بدون نصب نگهداری. (ج)- مدلسازی سپر و سیستم نگهداری و برآورد بارهای واردہ بر آنها.

برای مدلسازی سپر و سیستم نگهدارنده در تونل و به دست آوردن نیروهای وارد بر سپر، ملاحظات زیر مطابق شکل (۱) در نظر گرفته شده است.

۱- طول سپر و کله حفار ۱۱/۷۵ متر است که حدود ۷۵ سانتی متر از این سپر در فضای خالی بین قطعات پیش ساخته و دیوار تونل قرار دارد.

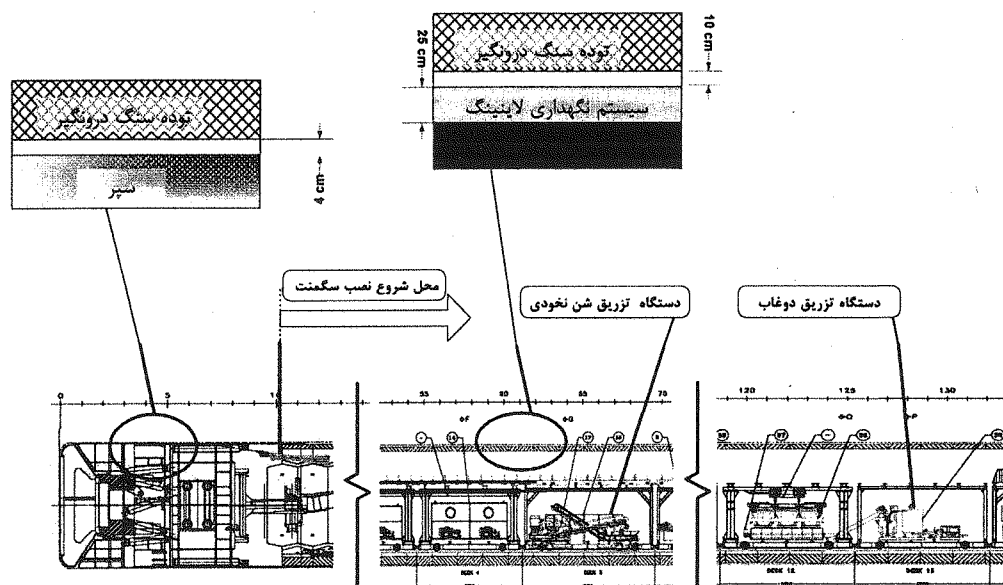
۲- محل دستگاه تزریق شن نخودی از سینه کار حدود ۶۰ متر است. محل تزریق شن نخودی بسته به نیاز پروژه توسط شلنگ تزریق قابل تغییر است.

۳- فاصله محل دستگاه تزریق دوغاب از سینه کار حدود ۱۲۰ متر است.

۴- به دلیل عمق زیاد تونل (حدود ۴۰۰ متر) و تنש های حاصل از روباره (حدود ۱۰ مگاباسکال) از محاسبه تنش های حاصل از وزن دستگاه TBM صرف نظر شده است. اگر چه در تونل های کم عمق تنش های حاصل از وزن TBM اثر موضعی قابل ملاحظه ای دارد [۹].

جدول (۴): خصوصیات قطعات پیش ساخته و سپر

ضخامت (cm)	مقاومت فشاری (MPa)	جرم مخصوص (Kg/m <sup>3</sup> )	مدول الاستیستیت (GPa)	مصالح
۲۵	۲۰	۲۵۰۰	۲۰	قطعات پیش ساخته
۵	۲۰۰	۷۸۵۰	۲۱۰	سپر

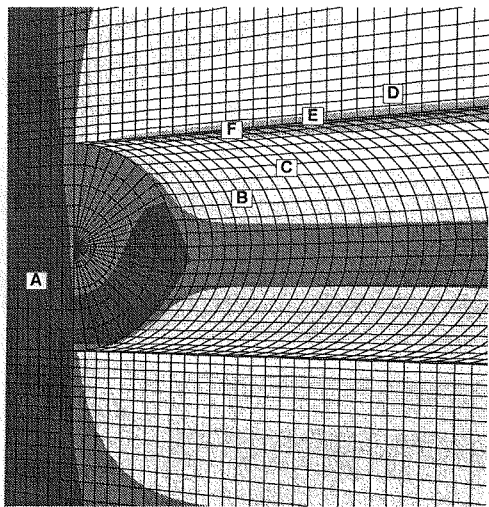


شکل (۱): نمای کلی از دستگاه TBM و بخش های مختلف آن

شده است. شکل (۲) مدل هندسی ایجاد شده را نشان می دهد. برای اعمال شرایط برجا بر مدل، با توجه به عمق قرارگیری تونل که حدود ۴۰۰ متر است، تنش های برجا و میزان روباره اعمالی محاسبه و به مدل اعمال شد. تنش های عمودی بر اساس

برای ایجاد هندسه تونل از خاصیت تقارن در جهت محور X استفاده شد. بنابراین نصف هندسه مدل با ابعاد  $20 \times 50 \times 40$  متر ساخته شد که در آن شعاع تونل برابر  $2275/2$  متر است. ابعاد مشبندی اطراف تونل به نسبت فاصله از دیواره تونل درشت تر

بتدريج کاهش می‌يابد و سرانجام در فاصله بعد از سه برابر قطر (۱۲ متر) از سينه کار همگرائي ثابت می‌ماند.



**Legend:**

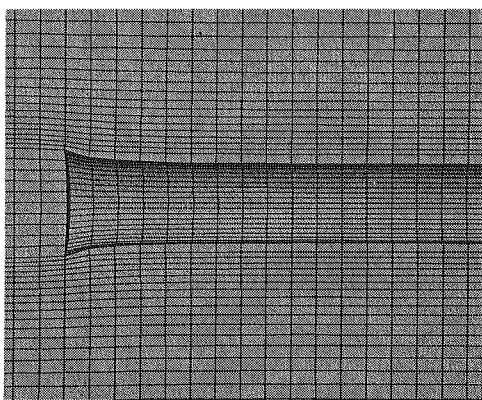
- 6.57e-5 to 1.00e-3 ■ 5.00e-3 to 6.00e-3
- 1.00e-3 to 3.00e-3 ■ 6.00e-3 to 7.00e-3
- 3.00e-3 to 5.00e-3 ■ 7.00e-3 to 7.50e-3

شکل (۳): رویه‌های هم جابجایی پس از حفر تونل بدون نصب نگهداری

اصول متعارف افزایش تنش با عمق تخمین و تنש‌های افقی به صورت نسبتی از تنش‌های قائم محاسبه شد. مقدار تنش‌های قائم برابر  $10/66$  مگاپاسکال و بر مبنای مطالعات زمین‌شناسی مهندسی مقدار  $K_0$  برابر  $45/00$ ، مقدار تنش افقی برابر  $4/797$  مگاپاسکال بر مدل اعمال شد.

سطح آب زیرزمینی در ارتفاع حدود ۲۰ متر بالاتر از محور تونل قرار دارد. تاثير آب به صورت فشار منفذی و استفاده از قابلیت اعمال سطح آب در نرم افزار، به مدل اعمال شد. برای اعمال شرایط مرزی از شرایط غلطکی (ثبت کردن مرزهای مدل در جهت‌های  $x$  و  $y$ ) و همچنین ثابت کردن مرز پایینی در جهت  $z$  استفاده شد. پس از اعمال شرایط مرزی و برجا، اجرای برنامه تا رسیدن مدل به حالت تعادل مجدد ادامه یافت.

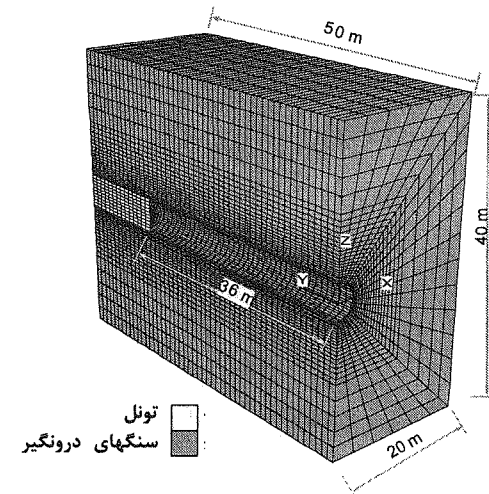
پس از به تعادل رساندن مدل ساخته شده از ۵۰ متر طول مدل ۳۶ متر آن به صورت تونلی به قطر  $4/495$  متر حفاری شده و سپس تاثیر حفاری تونل بر تغییرشکل‌های سنگ درونگیر تونل بدون نصب نگهداری بررسی شد. حفر تونل نیروی نامتعادلی در مدل ایجاد می‌کند که پس از اجرای مدل از بین می‌روند.



شکل (۲): نمایی از همگرایی نهايی تونل با بزرگنمایي ۱۰۰

در صورتی که تنش‌های القایی در توده سنگ اطراف تونل از مقاومت تسلیم توده سنگ بیشتر شود، ناحیه خمیری (پلاستیک) در سنگ‌های درونگیر تونل به وجود می‌آید. در شکل ۵ ناحیه خمیری ایجاد شده در اطراف تونل نشان داده شده است. مطابق شکل (۵) خسارت ناحیه خمیری در دیوارهای بیشتر از سقف تونل (حدود ۱ متر) و در سقف حدود ۰/۵ متر است.

تونل قمرود با استفاده از قطعات پیش‌ساخته بتی (سگمنت) نگهداری می‌شود. سیستم نگهداری در حفاری با TBM با سپر دوگانه در فاصله ۱۱ متری از سینه کار (بعد از سپر) نصب می‌شود. تاثیر نگهداری با قطعات پیش‌ساخته و سپر و برآورد بارهای وارد بر سیستم نگهداری مدلسازی شد. همان طور که نتایج مدلسازی بدون نصب نگهداری نشان می‌دهد، جابجایی



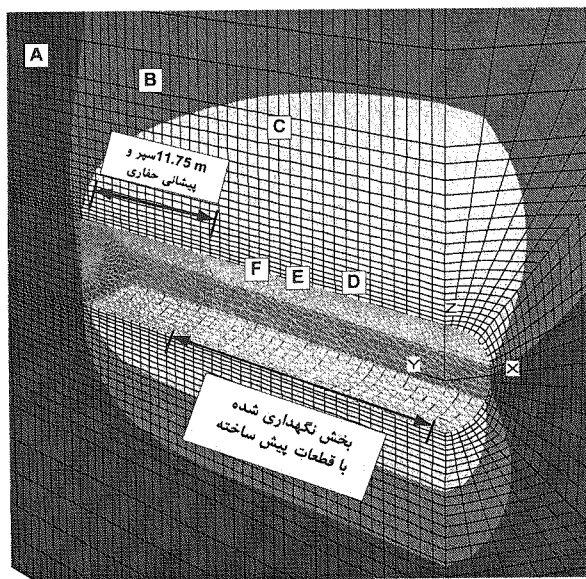
شکل (۲): هندسه مدل ساخته شده نشان دهنده تونل و سنگ‌های درونگیر

پس از حفر تونل با اجرای برنامه مقدار جابجایی، حدود  $7/5$  میلی‌متر به دست می‌آید. شکل (۳) رویه‌های هم جابجایی (کنتور) پس از حفاری تونل را نشان می‌دهد.

مطابق شکل (۳) حداکثر جابجایی‌ها در سقف حاصل می‌شود که در نقاط بین این دو مقدار جابجایی‌ها کمتر است و همچنین مقدار جابجایی‌ها با نزدیک شدن به سینه کار کاهش می‌یابد.

شکل نهايی تونل بعد از همگرایی در شکل ۴ نشان داده شده است. مطابق شکل (۴) آهنگ همگرایی نهايی اطراف تونل در نزدیکی سینه کار زياد بوده و با فاصله گرفتن از سينه کار

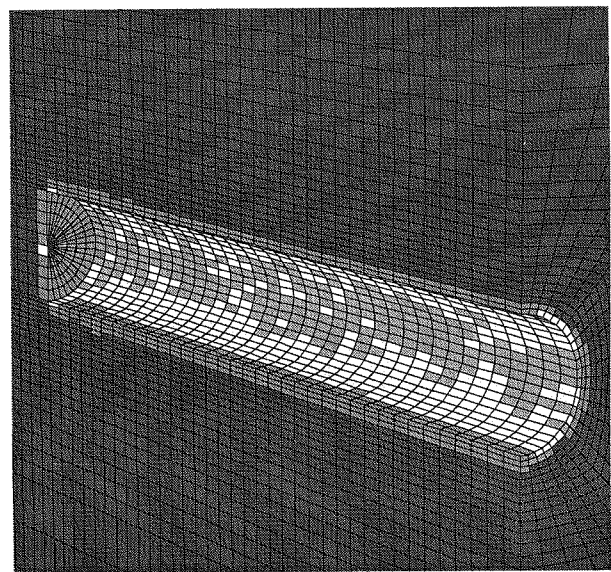
نهایی اطراف تونل در طولانی مدت در فاصله ۱۲ متری از سینه‌کار ایجاد می‌شود.



**Legend:**

- [A] 0.00e+00 to 1.00e-03 m [D] 5.00e-03 to 6.00e-03 m
- [B] 1.00e-03 to 2.00e-03 m [E] 6.00e-03 to 7.00e-03 m
- [C] 2.00e-03 to 5.00e-03 m [F] 7.00e-03 to 7.25e-03 m

شکل (۶): کنتورهای جابجایی نهایی پس از نصب نگهداری و سپر



شکل (۵): ناحیه خمیری ایجاد شده در اطراف تونل

مطابق شکل (۷-الف) حداقل تنش روی سیستم نگهداری در دیواره تونل حدود  $6/22 \text{ MPa}$  است. مطابق شکل (۷-ب) حداقل تنش روی سپر نیز در دیواره و انتهای سپر و حدود  $28 \text{ MPa}$  می‌باشد.

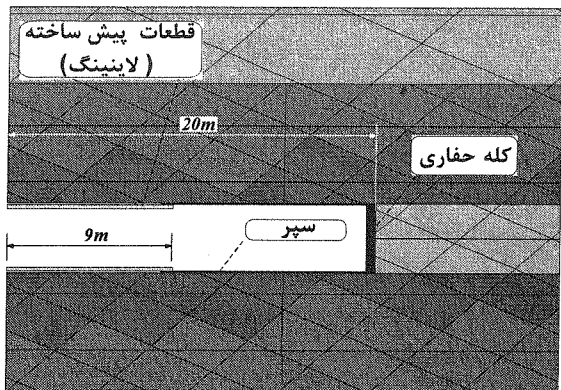
### ۳-۴- تحلیل ناپیوسته

برای تحلیل دقیق‌تر رفتار توده‌سنگ درونگیر تونل و بار واردہ بر سپر، استفاده از مدل‌های ناپیوسته ضروری است. این به دلیل وجود لایه‌بندی و دسته‌درزهای متعدد و طبیعت ناپیوسته توده سنگ می‌باشد. مدل‌های ناپیوسته با استفاده از روش اجزای مجا ساخته می‌شوند. نرم افزار UDEC<sup>۷</sup> که در سال ۱۹۸۰ طراحی شده، برای مدلسازی بلوک‌های صلب و تغییر شکل‌پذیر؛ که به وسیله ناپیوستگی‌ها از هم جدا شده‌اند، استفاده می‌شود [۱۱]. در سال ۱۹۸۳ اولین تحقیقات برای ساخت نرم افزار سه بعدی معادل UDEC یعنی 3DEC<sup>۸</sup> بر مبنای روش اجزای مجا شروع شد. در این تحقیق نیز برای تحلیل بارهای وارد بر سپر و سیستم نگهداری از نرم افزار 3DEC (نسخه ۲) استفاده شد. برای این منظور برای مدلسازی و تحلیل مراحل چهار گانه زیر انجام شد:

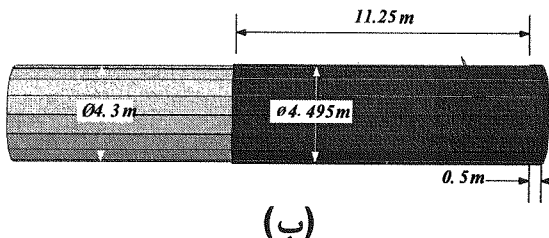
برای مدلسازی سپر از المان پوسته‌ای<sup>۹</sup> با خصوصیات فولاد استفاده شد (شکل ۶). این المان به طول  $11/75 \text{ متر}$  جلوی سینه‌کار نصب و کله حفاری نیز به صورت المان پوسته‌ای مدلسازی شد (شکل ۶) محل نصب سپر و سیستم نگهداری و همچنین رویه‌های نهایی پس از نصب سپر سیستم نگهداری نشان داده شده است.

شکل (۷) مقادیر تنش‌های اصلی حداقل به وجود آمده در سپر و سیستم نگهداری را نشان می‌دهد.

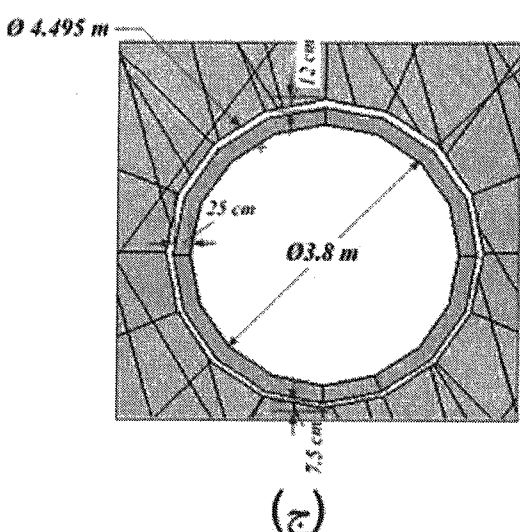
شکل (۸-ب) ابعاد هندسی سپر و سیستم نگهداری و در شکل (۸-ج) مقطع تونل و ابعاد فضای خالی بین سیستم نگهداری و دیواره تونل، که در مدلسازی لحاظ شده است، نشان داده شده است.



(الف)



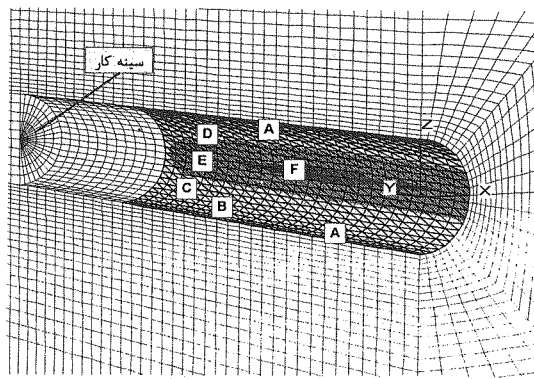
(ب)



(ج)

شکل (۸): (الف) مشخصات هندسی مقطع طولی، (ب) سپر و سیستم نگهداری و (ج) مقطع تونل و ابعاد فضای خالی در مدل ساخته شده

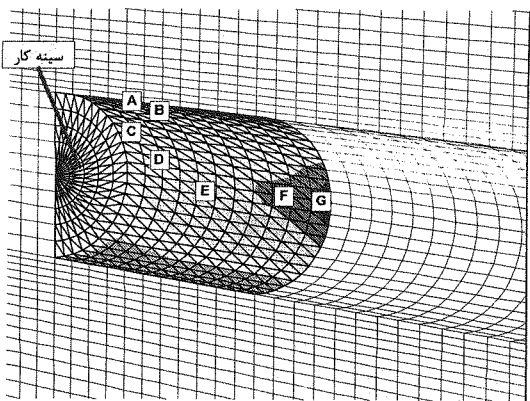
بعد از ساخت مدل هندسی، در مرحله دوم، خصوصیات رفتاری سنگ سالم و درزهای مطابق جداول (۲) و (۴) وارد مدل شد. در مرحله سوم شرایط اولیه شامل تنش‌های برجای ناشی از روباره (حدود ۴۰۰ متر) به مدل اعمال شد و شرایط مرزی



Legend:

8.15e-10 to 0.00e+00 Pa	D	-3.00e+06 to -4.50e+06 Pa
0.00e+00 to -1.50e+06 Pa	E	-4.50e+06 to -6.00e+06 Pa
-1.50e+06 to -3.00e+06 Pa	F	-6.00e+06 to -6.22e+06 Pa

(الف)



Legend:

4.65e-10 to 0.00e+00 Pa	E	-1.500e+07 to -2.00e+07 Pa
0.00e+00 to -5.00e+06 Pa	F	-2.0e+07 to -2.50e+07 Pa
-5.00e+06 to -1.00e+07 Pa	G	-2.50e+07 to -2.8e+07 Pa
-1.00e+07 to -1.50e+07 Pa	D	-1.500e+07 to -2.00e+07 Pa

(ب)

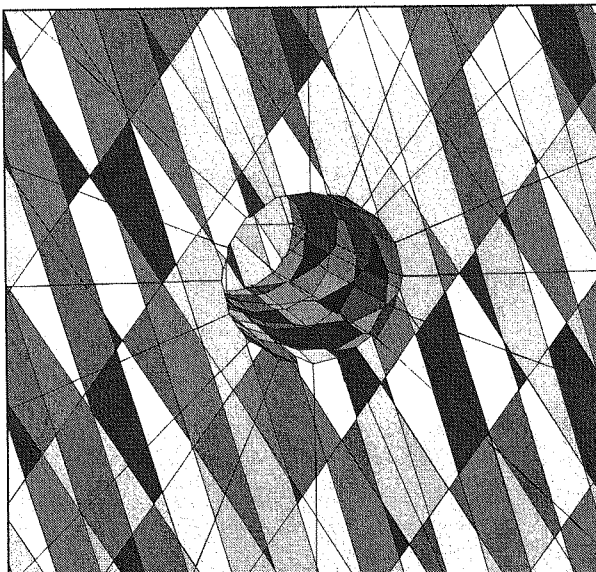
شکل (۷): تنش اصلی حداقل نهایی در قطعات پیش ساخته (الف) و سپر (ب)

نخست هندسه تونل و محدوده اطراف به صورت بلوکی با ابعاد  $30\text{m} \times 15\text{m} \times 15\text{m}$  (طول  $30$  متر، عرض  $15$  متر و ارتفاع  $15$  متر) ساخته شد و مشخصات واقعی هندسی لایه‌بندی و درزهای مطابق جدول (۴) وارد شد. با توجه به محدودیت حل کامپیوتری (حافظه کامپیوتر) هندسه بلوک به دو محدوده تقسیم شد. در محدوده  $30 \times 10\text{m} \times 10\text{m}$  مرکز بلوک شبکه‌بندی با ابعاد ریز (با ابعاد  $30$  سانتی‌متر در شعاع  $5$  متری مرکز تونل و ابعاد  $1$  متری در فاصله بین شعاع  $5$  متری و  $10$  متری) و مشخصات واقعی هندسه درزهای وارد شد. به عبارت دیگر مطابق مشخصات هندسی دسته درزهای برداشت شده برای مدلسازی استفاده شد. در خارج از محدوده مرکزی (از شعاع  $10$  متری تا مرز مدل) شبکه‌بندی با ابعاد درشت (ابعاد  $2$  متر) و همچنین فاصله هندسی دو برابر شده درزهای وارد شد. در شکل (۸-الف) مقطع طولی از مدل ساخته شده با ۳DEC در

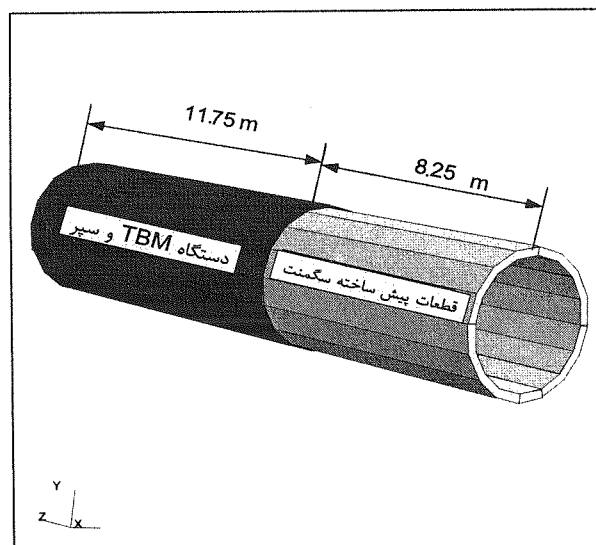
غلتکی در جوانب مدل و شرایط مرزی ثابت کردن مرز پایینی در جهت Z استفاده و با توجه به ارتفاع سطح آب (۳۰ متر بالاتر از تونل) اثر فشار منفذی در مدل اعمال شد. در مرحله چهارم پس از اعمال شرایط مرزی و برجا مدل اجرا شد تا به حالت تعادل برسد.

پس از به تعادل رساندن مدل ساخته شده از ۳۰ متر طول تونل ۲۰ متر آن به صورت تونلی به قطر ۴/۴۹۵ متر حفاری و سپس تاثیر حفاری تونل بر تغییر شکل های سنگ درونگیر تونل بدون نصب نگهداری بررسی شد. حفر تونل نیروی نامتعادلی در مدل ایجاد می کندکه بیانگر عدم تعادل مدل ناپیوسته است.

پس از حفر تونل با اجرای برنامه میزان جابجایی حدود ۲۴ سانتی متر به دست می آید. در حالی که فاصله ۴ سانتی متر برای همگرایی تونل در نظر گرفته شده، به همین دلیل این جابجایی در طولانی مدت سبب گیر کردن ماشین و اعمال بار به سپر می شود. حفاری تونل سبب القای تنفس در اطراف آن می شود. در صورتی که تنفس های القایی در تونله سنگ اطراف تونل از مقاومت تسليم تونله سنگ بیشتر شود، تا حیه خمیری (پلاستیک) در سنگ های درونگیر تونل به وجود می آید. با توجه به مطالب فوق، ریزش های بلوکی در اطراف تونل قابل پیش بینی است، به همین دلیل نصب نگهداری ضروری است. یکی از مزیت های استفاده از نرم افزار سه بعدی مدل سازی دقیق مطابق با واقعیت تونل سازی است. در این تحقیق برای محاسبه بار وارد بر سپر و سیستم نگهداری مدل سازی مطابق با شکل (۹-ب) انجام و برای مدل سازی هندسه استوانه ای سپر همراه با کله حفاری و قطعات پیش ساخته دو برنامه کمکی<sup>۱</sup> و با استفاده از المان بلوک به شکل استوانه ای با خصوصیات رفتاری الاستیک و مشخصات فولاد و بتن استفاده شد. با توجه به جابجایی زیاد دیواره تونل در مناطق ضعیف، قبل از تزریق شن نخودی، فضای خالی بین قطعات پیش ساخته و دیوار تونل با بلوک های اطراف زمین پر خواهد شد، به همین دلیل این فاصله به صورت فضای خالی مدل شده است که در فرایند اجرای برنامه با همگرایی زمین پر می شود و نیروهایی به قطعات پیش ساخته وارد می شود. شکل (۹-الف) مدل حفاری شده و شکل (۹-ب) هندسه بلوک های استوانه ای ساخته شده برای مدل سازی سپر همراه با کله حفاری TBM و سیستم نگهداری را نشان می دهد.



(الف)



(ب)

شکل (۹): (الف) مدل حفاری شده، (ب) هندسه TBM به همراه قطعات پیش ساخته (سکمنت)

در شکل (۱۰) نمودارهای جابجایی در سقف تونل در فواصل ۲ متری از ابتدای تونل در چند نقطه در دو حالت بدون نگهدارنده (الف) و با نگهداری (ب) نشان داده شده است. جابجایی در تونل بدون نگهداری در نقاط برداشت شده حدود ۲۰ سانتی متر است (حداکثر جابجایی با استفاده از بردارهای جابجایی در اطراف تونل حدود ۲۴ سانتی متر به دست آمد). این مقدار جابجایی با نصب نگهداری محدود شده و به حدود ۱۴ سانتی متر کاهش می یابد.

برای برآورد مقدار تنفسها و نیروهای اعمالی به سیستم نگهداری و سپر تنفس های اصلی ماکزیمم در مقاطع مختلف به دست آمده است. در شکل (۱۱) مقادیر تنفس های اصلی حداقل در فواصل مختلف از سینه کار نشان داده شده است.

با توجه به شکل (۱۱) مقدار حداکثر و حداقل تنش در سپر به ترتیب برابر  $65$  و  $12$  مگاپاسکال است. این شکل نشان می‌دهد که تغییر تنش‌ها در طول سپر و قطعات پیش‌ساخته یکنواخت نیست. این به دلیل ناپایداری بلوک‌های موضعی در طول تونل می‌باشد. مقدار حداکثر و حداقل تنش در قطعات پیش‌ساخته نیز به ترتیب برابر  $10$  و  $2/1$  مگاپاسکال است.

#### ۴- بحث

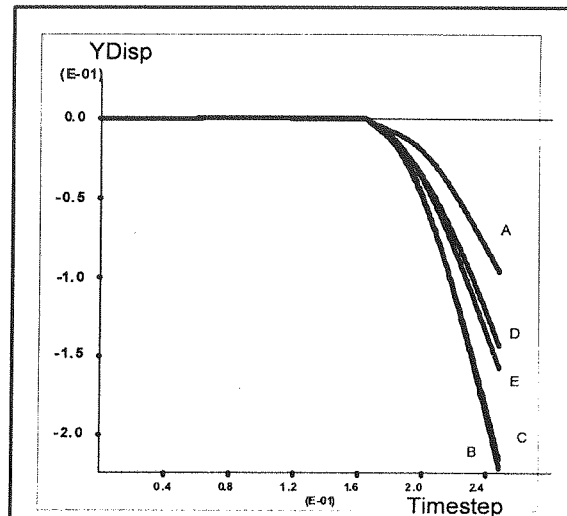
از آنجا که همگرایی مجاز تونل در حدود  $4$  سانتی‌متر در فضای اطراف سپر در نظر گرفته شده است، و مطابق شکل (۱۰-الف) میزان جابجایی‌ها از تحلیل ناپیوسته حدود  $20$  سانتی‌متر به دست آمد؛ بنابراین مقدار جابجایی در نظر گرفته شده کمتر از مقدار همگرایی به دست آمده حاصل از تحلیل است. جابجایی نهایی به دلیل نصب سیستم نگهداری به مقدار حدود  $7/5$  میلی‌متر در تحلیل پیوسته و  $14$  سانتی‌متر در تحلیل ناپیوسته محدود می‌شود.

تحلیل جابجایی با و بدون نصب سیستم نگهداری نشان می‌دهد که ایجاد محدودیت جابجایی به دلیل نصب سیستم نگهداری و سپر باعث به وجود آمدن تنش در سیستم نگهداری می‌شود. مقدار تنش‌های به وجود آمده در قطعات پیش‌ساخته حدود  $6/2$  MPa در تحلیل پیوسته و  $15$  MPa در تحلیل ناپیوسته و در سپر مقدار  $28$  MPa در تحلیل پیوسته و  $70$  MPa در تحلیل ناپیوسته می‌باشد.

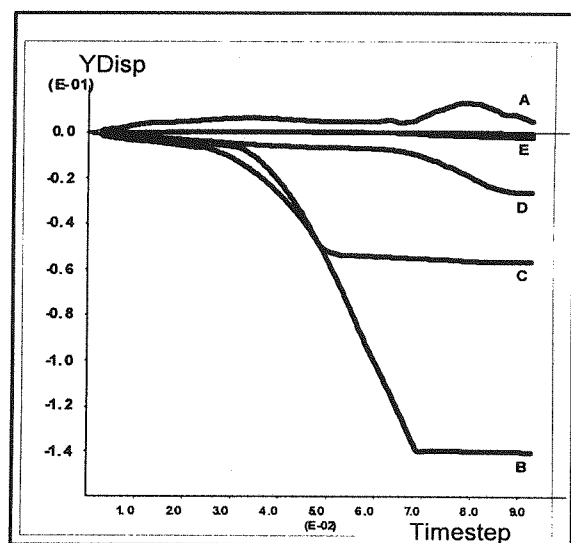
#### ۵- نتیجه گیری

تونل قمرود در توده سنگ با ساختارهای زمین شناسی از قبیل دسته درزه‌ها و شیستوزیتیه قرار دارد؛ لذا همگرایی تونل در طول مسیر آن غیریکنواخت است و باعث تمرکز تنش در نقاط مختلف می‌شود. همگرایی بیش از حد که در تحلیل ناپیوسته به دست آمده است، بیانگر ناپایداری بلوکی در طول تونل می‌باشد. لذا با جابجایی بیش از حد بلوک‌ها نیروی بیشتری به سپر وارد شده سبب گیر افتادن دستگاه می‌شود. این مقدار بار سبب اعمال تنش زیاد به سیستم نگهداری می‌شود.

تنش‌های ایجاد شده در قطعات پیش‌ساخته باعث ایجاد پتانسیل شکست این قطعات می‌شود. وجود این تنش‌ها روی قطعات پیش‌ساخته از یک طرف و تنش‌های حاصل از نیروهای اعمال شده از طرف جک‌های پیشران از طرف دیگر باعث تشدید ناپایداری سیستم نگهداری می‌شود. شواهد تجربی به صورت ترک‌هایی روی قطعات پیش‌ساخته این واقعیت را تایید

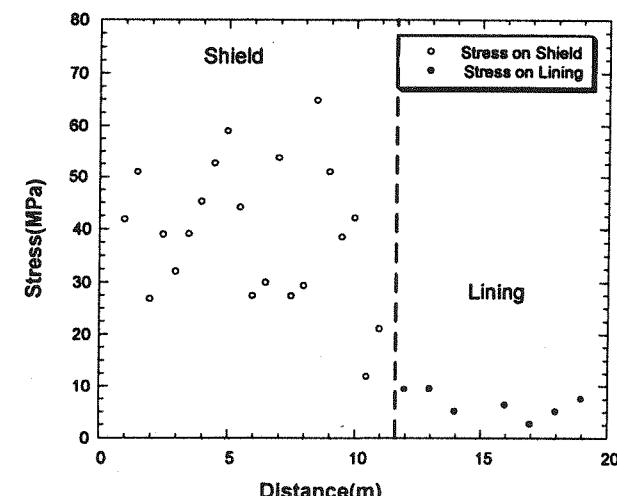


(الف)



(ب)

شکل (۱۰): نمودارهای جابجایی در سقف تونل در فواصل مختلف از سینه کار (الف) بدون نصب نگهداری، (ب) بعد از نصب نگهداری



شکل (۱۱): مقادیر تنشهای اصلی حداکثر در فواصل مختلف از سینه کار

## ۶- مراجع

- [۱] Barla G., Pelizza S. "TBM tunneling in different ground condition", Politecnico di Torino, Dipartimento di Ingegneria Strutturale e Geotecnica, corso Duca degli Abruzzi, 24 – 10129 Torino, 1998.
- [۲] Barla G., Barla M., "Continuum and discontinuum modelling for design analysis of tunnels", Dept. of Structural and Geotechnical Engineering, Politecnico di Torino, Italy, 1999.
- [۳] Lee K.M., Rowe R.K. Finite Element modeling of the Three-Dimensional Ground Deformations due to tunneling in soft cohesive soils. Part1- Method of analysis; Computer and Geotechnics, 10:111-138, 1990.
- [۴] Lee K. M. and Rowe R. K. Finite Element Modeling of the Three-Dimensional Ground Deformations due to tunneling in soft cohesive soils. Part2- Results; Computer and Geotechnics, 10:111-138, 1990.
- [۵] Swoboda G.. Numerical Modeling of tunnels; Numerical Methods and Constitutive Modeling in Geomechanics; (311),277-318. Eds.C.S. Desai and G. Gioda. Springer Verlag Wien, 1990.
- [۶] Lee K.M. Rowe R.K. An Analysis of three dimensional ground movement. the Thunder Bay Tunnel; Canadian Geotechnical Journal, 28:25-41, 1991.
- [۷] Swoboda G., Mertz W.. and Schmid A.; Three Dimensional Numerical models to simulate tunnel excavation; Numerical Models in Geomechanics Swoboda G., Mansour M. Three Dimensional Numerical Modeling of Slurry Shield Tunneling. PP 27-41
- [۸] Kasper, T., Meschke G. On the influence of face pressure, grouting pressure and TBM design in soft ground tunneling., Tunneling and underground technology, PP 160-171, V.21, 2006.
- [۹] Sharifzadeh, M., Hemmati Shaabani, A. TBM Tunneling in adverse rock mass with emphasis on the TBM Jamming accident in Ghomrud water transfer tunnel. In printing, EUROCK06, Charlier ed. May 8-12, 2006, liege, Belgium.
- [۱۰] Hart, R.D. An introduction to distinct element method for rock engineering; PP245-261, Comprehensive in Rock Engineering, Hudson Ed., 1993.
- [۱۱] Sahel consulting Engineering report, SHL 2019 UNGR MTUN RM RP 003 DO, June 2005.

## ۷- زیرنویس‌ها

<sup>1</sup> *Shield*<sup>2</sup> *Tunnel Boring Machine*<sup>3</sup> *Cutter head*<sup>4</sup> *Trust*<sup>5</sup> *Segment*<sup>6</sup> *Shell*<sup>7</sup> *Universal Distinct Element Code*<sup>8</sup> *3 Dimensional Distinct Element Code*<sup>9</sup> *Fish*